

文章编号: 0258-7025(2004)01-0074-03

# 法布里-珀罗型光学梳状滤波器的设计

邵永红, 姜耀亮, 郑权, 钱龙生

(中国科学院长春光学精密机械与物理研究所, 吉林 长春 130021)

**摘要** 提出了一种新型光学梳状滤波器, 它由双 Gires-Tournois 谐振腔代替 Michelson 干涉仪的两个全反射镜构成。基于 Michelson 干涉原理, 给出了零畸变、高信道隔离度、宽平坦带宽、高一致性、结构简单、性能稳定的光学梳状滤波器的设计原理。设计了信道间隔为 50 GHz, 畸变 < 0.05 dB, 1 dB 带宽大于 0.38 nm, 相邻信道间隔大于 23 dB 的光学梳状滤波器。

**关键词** 光电子学; 光学梳状滤波器; Gires-Tournois 谐振腔; Michelson 干涉仪

中图分类号 TN 929.11 文献标识码 A

## Design of Interleaver Using Fabry-Perot Interferometer

SHAO Yong-hong, JIANG Yao-liang, ZHENG Quan, QIAN Long-sheng

(Changchun Institute of Optics, Fine Mechanics and Physics,  
The Chinese Academy of Sciences, Changchun, Jilin 130021, China)

**Abstract** A novel Interleaver using a modified Michelson interferometer in which its reflecting mirrors are replaced by two Gires-Tournois resonators is presented. On basis of the theory of Michelson interference, a designing principle of the interleaver which has square-like frequency response with zero ripple, wide flat-top, unity contrast, simple structure, and stable performance is given. The device which possesses channel spacing of 50 GHz, ripple less than 0.05 dB, 1 dB bandwidth more than 0.38 nm, and close channel isolation more than 23 dB has been designed.

**Key words** optoelectronics; interleaver; Gires-Tournois resonator; Michelson interferometer

随着信息通信的迅猛发展, 语音、图像、数据的信息交流的日益增多, 尤其是因特网的广泛应用, 人们对宽带通信提出了更高的要求, 采用波分复用(WDM)和密集型波分复用(DWDM)技术已成为扩大通信容量的最佳方案之一, 并被广泛应用<sup>[1]</sup>。然而由于受到制造工艺及材料方面的限制, 目前已商品化的几种器件很难做到信道间隔 100 GHz 以下, 而且随着复用信道数的增加, 器件的整体性能降低而成本提高。为了能够进一步扩大带宽, 更好地利用现有的掺 Er 光纤放大器(EDFA)带宽系统, 同时避免器件技术的过分复杂化和太高的成本, 在 2000 年 3 月 OFC 展览上, 人们提出一种群组滤波器, 称之为 Interleaver 即光学梳状滤波器, 它的作用是将一路

波长光信号分成两路, 分别包含奇数路波长和偶数路波长, 信道间隔倍增, 其功能如图 1。可见利用这种技术既可以减轻现有 DWDM 器件复用/解复用对波长间隔要求的负担, 又能提高系统传输容量。

目前实现 Interleaver 的技术有很多<sup>[2~4]</sup>, 如光纤马赫-曾德尔(fiber Mach-Zehnder, FM-Z)干涉仪型、偏振光干涉型、光纤光栅组合型和单 G-T 腔 Michelson 干涉型<sup>[5]</sup>等。FM-Z 干涉仪型属于全光纤设计, 插入损耗小, 信道均匀性高, 偏振相关损耗低。但光纤耦合器在拉制工艺方面难度大。偏振型 Interleaver 是利用晶体的双折射效应和偏振光干涉原理, 其插入损耗大, 并且由于双折射晶体较长, 温度补偿、加工尺寸控制及封装难度大。利用光纤光

收稿日期: 2002-05-16; 收到修改稿日期: 2002-07-08

基金项目: 国家 863 计划项目(863-307-22-52)和中国科学院光电科技集团项目(KGCX2-405)资助课题。

作者简介: 邵永红(1972—), 男, 吉林省德惠市人, 中国科学院长春光学精密机械与物理研究所光学专业博士研究生, 主要从事光通讯器件和全固态激光器的研究。E-mail: yhs-01@163.com

栅与环形器构成光纤光栅组合型 Interleaver, 对温度敏感, 稳定性差并且造价高。

本文在文献[5]的基础上进行了改进, 采用双 Gires-Tournois 谐振腔代替 Michelson 干涉仪的两个全反射镜构成的新型干涉系统(即 Interleaver), 入射光经该干涉系统产生两组等间隔互补条纹, 形

成了梳状分离谱, 该结构比文献[5]的系统提高了器件的隔离度、增加了平坦通带的宽度。通过合理选取 Gires-Tournois 谐振腔 1, 2 各参数值及 Michelson 干涉仪两臂长值, 可实现不同种类滤波器件, 这类 Interleaver 具有零畸变、宽平坦带宽、高隔离度以及结构简单、易于装调等优点。

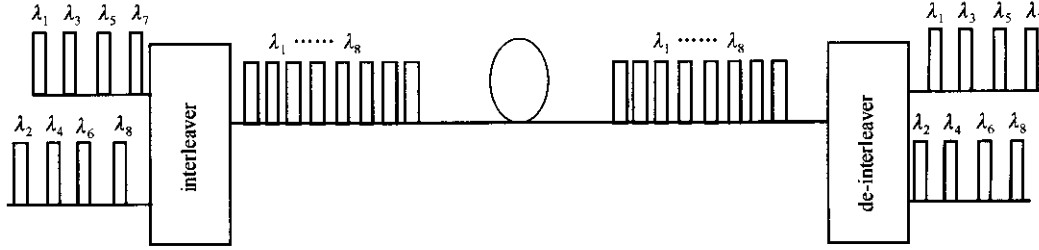


图 1 Interleaver/de-interleaver 工作框图

Fig. 1 Diagram of interleaver/de-interleaver

## 1 原理和实验

法布里·珀罗型光学梳状滤波器是基于 Michelson 干涉仪的干涉效应 Gires-Tournois 谐振腔<sup>[6]</sup>的调相作用设计的, 结构如图 2, 分别用 Gires-Tournois 谐振腔 1, 2 代替 Michelson 干涉仪的两全反射镜,  $\Delta L$  控制器用于调整器件的位相变化。

利用 Gires-Tournois 谐振腔的调相作用选择信道国际电信联盟(ITU)信道波长, 图 3 为 Gires-Tournois 谐振腔反射系数与位相关系。可见, 在  $d$  一定条件下, 光波位相随反射系数  $r$  变化而变化, 在  $\Theta = m\pi$  时, 频率满足  $f = m \frac{c}{2d}$  ( $m = 0, 1, 2, \dots$ ); 随着反射系数  $r$  增大, 位相由线性变化变为非线性变化, 而位相  $\Theta = m\pi$  点不随反射系数  $r$  变化。这样通过合理计算可以找到使位相差周期的出现较宽波长

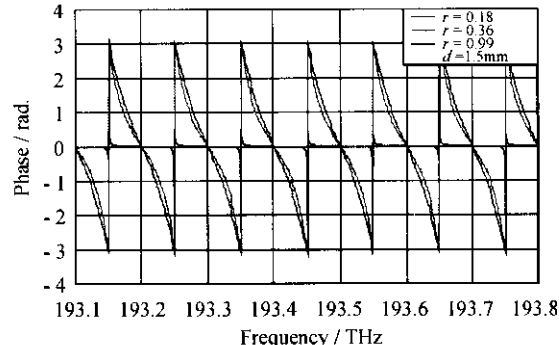


图 3 在  $d$  一定, 不同反射系数条件下, Gires-Tournois 谐振腔位相随频率的变化

Fig. 3 Phase response of Gires-Tournois resonator as a function of frequency at different reflectance for the same value of  $d$

范围的  $2n\pi$  和  $(2n+1)\pi$  值 ( $n = 0, 1, 2, \dots$ ), 在位相差等于  $2n\pi$  时, 反射谱出现极大, 在位相差等于  $(2n+1)\pi$  时, 透射谱出现极大值, 位相差由  $2n\pi$  向  $(2n+1)\pi$  变化过程中, 对应的波长变化范围越小, 器件信道隔离度就越高。器件工作原理如图 2 所示, 一束光入射到 50:50 分束器上, 被分成两束  $E_1$  和  $E_2$ ,  $E_1$  入射到 Gires-Tournois 谐振腔 1 调相后被沿原路返回到分束器, 另一路  $E_2$  入射到 Gires-Tournois 谐振腔 2 调相后沿原路返回到分束器, 这两束光在分束器上实现 Michelson 干涉, 其透射方向和反射方向光波电矢量分别为

$$E_{\text{Trans}} = -i \sin \left[ \frac{2kn(L_1 - L_2) + (\Theta_1 - \Theta_2)}{2} \right] \times \\ \exp \left[ -i \frac{2kn(L_1 + L_2) - (\Theta_1 + \Theta_2)}{2} \right] E_{\text{in}}$$

图 2 法布里·珀罗复合型光学梳状滤波器结构图

Fig. 2 Schematic of Interleaver using a Michelson interferometer with Gires-Tournois resonator 1, 2

$$E_{\text{Ref}} = -i \cos \left[ \frac{2kn(L_1 - L_2) + (\Theta_1 - \Theta_2)}{2} \right] \times \\ \exp \left[ -i \frac{2kn(L_1 + L_2) - (\Theta_1 + \Theta_2)}{2} \right] E_{\text{in}}$$

式中  $E_{\text{in}}$  为入射光波电场矢量,  $L_1$  和  $L_2$  为 Michelson 干涉仪的两个臂长,  $n$  为介质折射率(空气介质  $n = 1$ ),  $k = 2\pi/\lambda$ ,  $\lambda$  为真空中波长,  $\Theta_1$  和  $\Theta_2$  分别为 Gires-Tournois 谐振腔 1,2 的位相响应, 即

$$\Theta_1(r_0, d_0) = -2 \tan^{-1} \left[ \frac{1 - r_0}{1 + r_0} \tan(knd_0) \right]$$

$$\Theta_2(r_1, d_1) = -2 \tan^{-1} \left[ \frac{1 - r_1}{1 + r_1} \tan(knd_1) \right]$$

式中  $d_0$  和  $d_1$  为 Gires-Tournois 谐振腔 1,2 的腔长,  $r_1$  和  $r$  分别为 Gires-Tournois 谐振腔 1 的第一面和第二面的光波电振幅反射系数,  $r_0$  和  $r$  为 Gires-Tournois 谐振腔第一面和第二面的光波电振幅反射系数。若用归一化光强表示输出, 则

$$I_{\text{Trans}} = \sin^2 \left[ \frac{2kn(L_1 - L_2) + (\Theta_1 - \Theta_2)}{2} \right]$$

$$I_{\text{Ref}} = \cos^2 \left[ \frac{2kn(L_1 - L_2) + (\Theta_1 - \Theta_2)}{2} \right]$$

通过调节臂长差  $\Delta = L_1 - L_2$  和  $\Delta\Theta = \Theta_1 - \Theta_2$ (通过调节  $r_0, r_1, d_0, d_1$  实现)值可以实现各种信道间隔如(100 GHz, 50 GHz, 25 GHz, ...)的梳状滤波器、带通滤波器、带阻滤波器及可调滤波器等。

我们设计了信道间隔为 50 GHz 的光学梳状滤波器, 具体设计参数如下:  $\Delta L = 5$  mm,  $r_0 = 18\%$ ,  $r_1 = 36\%$ ,  $r = 100\%$ ,  $d_0 = 1.5$  mm,  $d_1 = 3.2$  mm。图 4 为归一化反射强度曲线, 图 5 为归一化透射强度曲线。

容易看出, 信道间隔为 50 GHz, 中心波长符合国际电信联盟(ITU)规定, 通带平坦性相当好(畸变

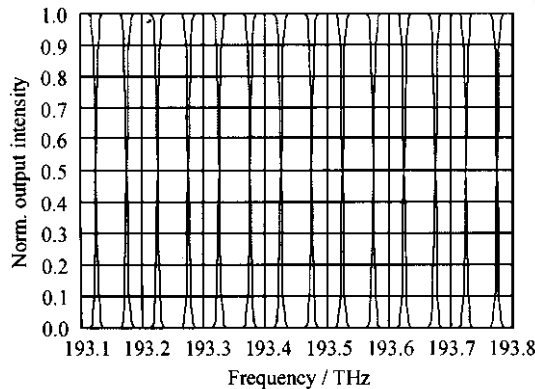


图 4 输出强度随频率的变化曲线

Fig. 4 Output intensity of the interleaver as

万方数据

$<0.05$  dB), 1 dB 带宽大于 0.38 nm, 相邻信道间隔离度大于 23 dB, 器件在整个工作频带内具有较高的一致性。通过合理调整各参数 ( $r_0, r_1, d_0, d_1, L_1, L_2$ ), 还可进一步提高器件指标。

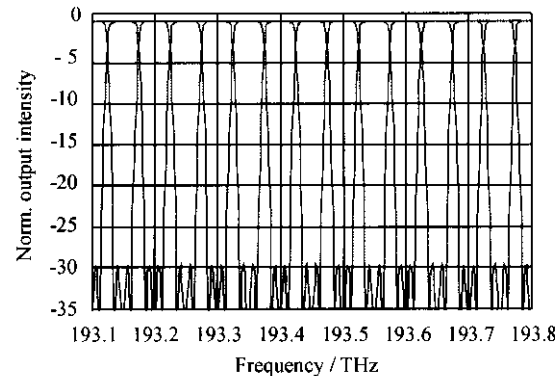


图 5 归一化输出强度随频率的变化曲线

Fig. 5 Normalized output intensity of the interleaver as a function of frequency

## 2 结 论

本文分析了 Gires-Tournois 谐振腔的调相原理, 给出了由双 Gires-Tournois 谐振腔 1,2 构成 Michelson 干涉仪——法布里-珀罗型光学梳状滤波器的设计原理。该滤波器具有零畸变、高信道隔离度、宽平坦带宽、高一致性、结构简单、性能稳定等优点。设计了信道间隔为 50 GHz, 畸变  $<0.05$  dB, 1 dB 带宽大于 0.38 nm, 相邻信道间隔离度大于 23 dB 的光学梳状滤波器。通过对参数 ( $d_0, d_1, L_1, L_2$ ) 实现电连续可调, 可用该结构实现可调谐滤波器。

## 参 考 文 献

- Bob Shine, Jerry Bautista. Interleavers make high-channel-count systems economical [J]. *Lightwave*, 2000, **17**(9):140~144
- Huishu Li, River Huang. The application and technical approaches of interleaver [C]. *SPIE*, 2001, **4581**:79~87
- Andrew Zeng, Joseph Chon. Ultra-high capacity and high speed DWDM optical devices for telecom and datacom applications [C]. *SPIE*, 2001, **4581**:13~20
- W. H. Loh, F. Q. Zhou, J. J. Pan. Novel designs for sampled grating-based multiplexers-demultiplexers [J]. *Opt. Lett.*, 1999, **24**(21):1457~1459
- Benjamin B. Dingel, Tadashi Aruga. Properties of a novel noncascaded type, easy-to-design, ripple-free optical bandpass filter [J]. *J. Lightwave Technol.*, 1999, **17**(8):1461~1469
- Benjamin B. Dingel, Masayuki Izutsu, Koji Murakawa. Optical wave-front transformer using the multiple-reflection interference effect inside a resonator [J]. *Opt. Lett.*, 1997, **22**(19):1449~1451